



Laboratorium EMVO Sp. J. Urbański, Pawelak
ul. Jasna 1
00-013 Warszawa

tel. +48 22 780 29 64

e-mail: laboratorium@emvo.pl



AB 1630

Sprawozdanie z pomiarów pól elektromagnetycznych - środowisko nr 32/05/OŚ/2023– ELT



Nr i nazwa stacji	BT44187_WŁOCŁAWE_ŚWIECH	
Adres	87-816 Włocławek, ul. Robotnicza 3, woj. kujawsko-pomorskie	
Opracowanie	Martyna Karczmarczyk	Specjalista ds. pomiarów
Autoryzacja	Andrzej Urbański	Kierownik Laboratorium
Podpis		
Data	2023-05-29	

Spis treści

1. Informacje ogólne.....	3
2. Podstawa prawna.	3
3. Opis pomiarów.....	3
4. Zróżnicowanie dopuszczalne poziomy pól elektromagnetycznych.....	5
5. Charakterystyka źródeł PEM.....	5
6. Wyniki pomiarów.....	5
7. Stwierdzenie zgodności	6
8. Oświadczenie.....	8
9. Spis załączników.	8

1. Informacje ogólne.

Zleceniodawca	Axians Networks Poland Sp. z o.o. ul. Annopol 4a, 03-236 Warszawa Osoba udzielająca informacji – Piotr Miliszkiewicz
Istotne informacje dostarczone przez klienta	komplet informacji niezbędnych do wykonania pomiarów i opracowania sprawozdania
Dane otrzymane od klienta mogące mieć wpływ na ważność wyników	Dane anten sektorowych, dane anten radioliniowych, parametry pracy instalacji, poprawka pomiarowa, ustawienie pochylenia anten
Prowadzący instalację	TOWERLINK POLAND SP. z.o.o. , ul. Kasprzaka 4, 01-211 Warszawa
Lokalizacja obiektu	87-816 Włocławek, ul. Robotnicza 3, woj. kujawsko-pomorskie
Miejsce instalacji anten	Kościół
Miejsce instalacji urządzeń	Indoor
Osoby wykonujące pomiar	Roman Murawski
Data wykonania pomiaru	29.05.2023
Temperatura na początku pomiaru [°C]	22,0
Temperatura na koniec pomiaru [°C]	22,0
Warunki atmosferyczne	Brak opadów
Wilgotność na początku pomiaru [%]	40,0
Wilgotność na koniec pomiaru [%]	40,0
Godzina na początku pomiaru	7:56
Godzina na koniec pomiaru	9:33
Inne źródła pól elektromagnetycznych oznaczone na załączniku graficznym	Występują
Parametry pracy instalacji	Tryb eksploatacyjny

2. Podstawa prawna.

2.1 Normy i rozporządzenia:

- Obwieszczenie Ministra Klimatu i Środowiska z dnia 21 listopada 2022 r. w sprawie ogłoszenia jednolitego tekstu rozporządzenia Ministra Klimatu w sprawie sposobów sprawdzania dotrzymania dopuszczalnych poziomów pól elektromagnetycznych w środowisku (Dz.U. 2022 poz. 2630)
- Rozporządzenie Ministra Zdrowia z dnia 17 grudnia 2019 r. w sprawie dopuszczalnych poziomów pól elektromagnetycznych w środowisku (Dz.U. 2019 poz. 2448)
- Obwieszczenie Marszałka Sejmu Rzeczypospolitej Polskiej z dnia 1 grudnia 2022 r. w sprawie ogłoszenia jednolitego tekstu ustawy - Prawo ochrony środowiska (Dz.U. 2022 poz. 2556).

3. Opis pomiarów

Metodologia pomiarowa	Pomiary w oparciu o Rozporządzenie Ministra Klimatu z dnia 17 lutego 2020 r. w sprawie sposobów sprawdzania dotrzymania dopuszczalnych poziomów pól elektromagnetycznych w środowisku (Dz.U. 2022 poz. 2630).
Cel badań	Określenie wartości natężenia pola elektrycznego w miejscach dostępnych dla ludności.
Opis zestawu pomiarowego	Miernik Narda NBM 550, Sonda EF-6092, o zakresie pomiarowym 0,7 V/m – 300V/m pracująca w paśmie 0,1 – 90 GHz, świadectwo wydane przez Laboratorium Wzorców i Metrologii Pola Elektromagnetycznego, Instytut Telekomunikacji, Teleinformatyki i Akustyki Politechniki Wrocławskiej. Świadectwo ważne do 10.06.2024 r. Miernik Narda NBM 550, Sonda EF-6092 pracująca w zakresie temperatury -10°C - +50°C oraz wilgotności 5% - 95% Niepewność rozszerzona wynosi 58,8% przy poziomie ufności 95% z uwzględnieniem współczynnika rozszerzenia k=2.
Wyposażenie pomocnicze	Termohigrometr Bestone, Nr. inwentarzowy 03/WL, nr identyfikacyjny 1222436, typ: GM1362-EN-00, świadectwo wzorcowania z dn. 22.12.2015 r. wydane przez Laboratorium Pomiarowe „MUTECH”. Przymiar wstępowy STABILA, Nr. inwentarzowy 06/WL, nr identyfikacyjny 06WL, świadectwo wzorcowania z dn. 22.09.2021 r. wydane przez Zespół Laboratoriów wzorcujących Okręgowego Urzędu Miar w Gdyni. GPS Garmin 64s okresowo sprawdzany w punktach osnowy geodezyjnej klasy 3 na podstawie licencji punktu, zgodnie z procedurą sprawdzeń okresowych IS/PO-16-11/03.
Pomiary zostały wykonane	<ol style="list-style-type: none">1. na głównych i pomocniczych kierunkach pomiarowych, na kierunkach zbliżonych do azymutów anten oraz w dodatkowych pionach pomiarowych zgodnie z wymaganiami pkt 12, 13, 14 i 19 Rozporządzenia Ministra Klimatu z dnia 17 lutego 2020 r. (Dz.U. 2022 poz. 2630).2. na obszarze pomiarowym, dla którego, na podstawie uprzednio przeprowadzonych obliczeń stwierdzono w miejscach dostępnych dla ludności występowanie pól elektromagnetycznych o najwyższym poziomie, które pochodzą z badanej instalacji zgodnie z wymaganiami pkt 5 ppkt 2 oraz pkt 13 ppkt 1 Rozporządzenia Ministra Klimatu z dnia 17 lutego 2020 r. w sprawie sposobów sprawdzania dotrzymania dopuszczalnych poziomów pól elektromagnetycznych w środowisku (Dz.U. 2022 poz. 2630). Wyniki obliczeń nie uwzględniały parametrów pracy instalacji innych operatorów występujących na obiekcie bądź w obszarze pomiarowym.3. w miejscach dostępnych dla ludności.4. miejsca niedostępne podczas wykonywania pomiarów wskazane zostały w pkt 6 (tabeli wyniki pomiarów)
Szczególne warunki podczas wykonywania pomiarów	Pomiary wykonane zostały podczas obowiązywania w kraju stanu zagrożenia epidemicznego, zgodnie z art. 122a ust. 1b Ustawy z dnia 27 kwietnia 2001 r. – Prawo ochrony środowiska (Dz. U. z 2019 r. poz. 1396, z późn. zm.9))
Warunki pracy urządzeń nadawczych	Tryb pracy eksploatacyjny.

4. Zróznicowanie dopuszczalne poziomy pól elektromagnetycznych.

Zakresy znajdują się w Dzienniku Ustaw z dnia 17 grudnia 2019 r. przedstawione są w tabeli nr 2 (Dz. U. z 2019r. poz. 2448).

Parametr fizyczny	Składowa elektryczna E (V/m)	Składowa magnetyczna H (A/m)	Gęstość mocy S (W/m ²)
Zakres Częstotliwości pola elektromagnetycznego			
od 400 MHz do 2000 MHz	$1,375 \times f^{0,5}$	$0,0037 \times f^{0,5}$	$f / 200$
od 2 GHz do 300 GHz	61	0,16	10

5. Charakterystyka źródeł PEM.

Zgodnie z informacją otrzymaną od Klienta pomiary zostały wykonane przy ustawieniach pochylenia anten zgodnych z pkt. 13, ppkt 2 Rozporządzenia Ministra Klimatu z dnia 17 lutego 2020 roku.

Tabela 1. Anteny sektorowe - dane otrzymane od klienta

Typ anteny	Współrzędne geograficzne	Azymut mechaniczny [°]	Azymut elektryczny [°]	Wysokość środka elektrycznego anten n.p.t. [m]	Pasma częstotliwości	Zakres pochylenia elektrycznego [°]	Średnie pochylenie anten (ustawione do pomiarów PEM) [°]	Kąt pochylenia mechanicznego [°]	Moc EIRP [W]	Suma EIRP [W]
AQU4518R11V07	19°02'17.03"E 52°38'48.55"N	60	60	33,5	1800	2-8		0	3043	15531
					2100	2-8		0	3403	
					2600	2-8		0	3888	
					900	2-8		0	5197	
AQU4518R11V07	19°02'17.03"E 52°38'48.55"N	180	180	33,5	1800	2-8		0	3043	15531
					2100	2-8		0	3403	
					2600	2-8		0	3888	
					900	2-8		0	5197	
AQU4518R11V07	19°02'17.03"E 52°38'48.55"N	300	300	33,5	1800	2-8		0	3043	15531
					2100	2-8		0	3403	
					2600	2-8		0	3888	
					900	2-8		0	5197	
120125	19°02'17.03"E 52°38'48.55"N	60	60	31,0	2600	1-8		0	19984	19984
120125	19°02'17.03"E 52°38'48.55"N	180	180	31,0	2600	1-8		0	19984	19984
120125	19°02'17.03"E 52°38'48.55"N	300	300	31,0	2600	1-8		0	19984	19984

Tabela 2. Anteny radioliniowe- dane otrzymane od klienta

Typ anteny	Współrzędne geograficzne	Azymut [°]	Średnica [m]	Pasma częstotliwości [GHz]	Zysk energetyczny [dBi]	Moc wyjściowa nadajnika [dBm]	EIRP [W]	Wysokość środka elektrycznego anten n.p.t. [m]
VHLP1-80	19°02'17.03"E 52°38'48.55"N	13	0,3	80	43,5	9	177,83	15

6. Wyniki pomiarów.

Wyniki pomiarów pól elektromagnetycznych dla celów ochrony środowiska przedstawia poniższa tabela. Piony pomiarowe zostały przedstawione w zał. 2.

Nr PP	Pole-E [V/m]	Pole-E, +U [V/m]	Pole-H [A/m]	Pole-H +U [A/m]	Wys. pomiaru [m]	Opis pionu	Uwagi	WM _E	WM _H
1	1,3	2,06	0,003	0,005	0,3-2,0	N:52°38'48.9" E:19°02'18.5"	otoczenie stacji bazowej - 25m wzdłuż gł. osi promieniowania - GKP	0,074	0,075
2	1,0	1,59	0,003	0,004	0,3-2,0	N:52°38'50.3" E:19°02'21.9"	otoczenie stacji bazowej - 100m wzdłuż gł. osi promieniowania - GKP	0,057	0,058
3	0,9	1,43	0,002	0,004	0,3-2,0	N:52°38'51.7" E:19°02'51.7"	otoczenie stacji bazowej - 190m wzdłuż gł. osi promieniowania - GKP	0,051	0,052
4	0,7*	1,27	0,002	0,003	0,3-2,0	N:52°38'52.8" E:19°02'29.2"	otoczenie stacji bazowej - 260m wzdłuż gł. osi promieniowania - GKP	0,045	0,046
5	1,6	2,54	0,004	0,007	0,3-2,0	N:52°38'46.8" E:19°02'17.0"	otoczenie stacji bazowej - 50m wzdłuż gł. osi promieniowania - GKP	0,091	0,092
6	1,2	1,91	0,003	0,005	0,3-2,0	N:52°38'45.2" E:19°02'17.2"	otoczenie stacji bazowej - 100m wzdłuż gł. osi promieniowania - GKP	0,068	0,069
7	0,7*	1,27	0,002	0,003	0,3-2,0	N:52°38'43.7" E:19°02'17.2"	otoczenie stacji bazowej - 150m wzdłuż gł. osi promieniowania - GKP	0,045	0,046
8	0,7*	1,27	0,002	0,003	0,3-2,0	N:52°38'42.0" E:19°02'17.2"	otoczenie stacji bazowej - 200m wzdłuż gł. osi promieniowania - GKP	0,045	0,046
9	0,7*	1,27	0,002	0,003	0,3-2,0	N:52°38'40.4" E:19°02'17.1"	otoczenie stacji bazowej - 250m wzdłuż gł. osi promieniowania - GKP	0,045	0,046
10	0,7*	1,27	0,002	0,003	0,3-2,0	N:52°38'38.0" E:19°02'17.3"	otoczenie stacji bazowej - 320m wzdłuż gł. osi promieniowania - GKP	0,045	0,046
11	1,4	2,22	0,004	0,006	0,3-2,0	N:52°38'49.3" E:19°02'14.9"	otoczenie stacji bazowej - 50m wzdłuż gł. osi promieniowania - GKP	0,079	0,081
12	0,7*	1,27	0,002	0,003	0,3-2,0	N:52°38'51.2" E:19°02'09.9"	otoczenie stacji bazowej - 160m wzdłuż gł. osi promieniowania - GKP	0,045	0,046
13	0,7*	1,27	0,002	0,003	0,3-2,0	N:52°38'52.0" E:19°02'08.0"	otoczenie stacji bazowej - 200m wzdłuż gł. osi promieniowania - GKP	0,045	0,046
14	0,8	1,27	0,002	0,003	0,3-2,0	N:52°38'52.9" E:19°02'05.7"	otoczenie stacji bazowej - 250m wzdłuż gł. osi promieniowania - GKP	0,045	0,046
15	1,1	1,75	0,003	0,005	0,3-2,0	N:52°38'53.7" E:19°02'03.4"	otoczenie stacji bazowej - 300m wzdłuż gł. osi promieniowania - GKP	0,062	0,063
16	1,0	1,59	0,003	0,004	0,3-2,0	N:52°38'54.2" E:19°02'02.0"	otoczenie stacji bazowej - 335m wzdłuż gł. osi promieniowania - GKP	0,057	0,058
17	1,4	2,22	0,004	0,006	0,3-2,0	N:52°38'50.1" E:19°02'50.1"	otoczenie stacji bazowej - 40m wzdłuż gł. osi promieniowania - GKP	0,079	0,081
18	0,9	1,43	0,002	0,004	0,3-2,0	N:52°38'50.5" E:19°02'18.9"	otoczenie stacji bazowej - GKP	0,051	0,052
19	1,1	1,75	0,003	0,005	0,3-2,0	N:52°38'48.5" E:19°02'20.4"	otoczenie stacji bazowej - GKP	0,062	0,063
20	1,3	2,06	0,003	0,005	0,3-2,0	N:52°38'48.1" E:19°02'18.5"	otoczenie stacji bazowej - GKP	0,074	0,075
21	1,3	2,06	0,003	0,005	0,3-2,0	N:52°38'46.6" E:19°02'18.5"	otoczenie stacji bazowej - GKP	0,074	0,075
22	1,1	1,75	0,003	0,005	0,3-2,0	N:52°38'47.9" E:19°02'14.6"	otoczenie stacji bazowej - GKP	0,062	0,063
23	0,7*	1,27	0,002	0,003	0,3-2,0	N:52°38'47.3" E:19°02'12.9"	otoczenie stacji bazowej - GKP	0,045	0,046
A	1,6	2,54	0,004	0,007	0,3-2,0	N:52°38'39.6" E:19°02'16.0"	Żurawia 27, pomiar przed posesją - DPP	0,091	0,092
B	1,5	2,38	0,004	0,006	0,3-2,0	N:52°38'39.9" E:19°02'17.0"	Żurawia 25, pomiar przed posesją - DPP	0,085	0,087
C	1,3	2,06	0,003	0,005	0,3-2,0	N:52°38'41.3" E:19°02'16.6"	Żurawia 18, pomiar przed posesją - DPP	0,074	0,075
D	1,0	1,59	0,003	0,004	0,3-2,0	N:52°38'40.9" E:19°02'17.8"	Żurawia 16c, pomiar przed posesją - DPP	0,057	0,058
E	0,7*	1,27	0,002	0,003	0,3-2,0	N:52°38'42.9" E:19°02'17.0"	Robotnicza 1, pomiar przed budynkiem -DPP	0,045	0,046
F	1,6	2,54	0,004	0,007	0,3-2,0	N:52°38'44.9" E:19°02'17.2"	Robotnicza 1a, pomiar przed budynkiem -DPP	0,091	0,092
G	1,7	2,70	0,005	0,007	0,3-2,0	N:52°38'47.1" E:19°02'17.1"	Robotnicza 3, pomiar przed budynkiem -DPP	0,096	0,098
H	1,0	1,59	0,003	0,004	0,3-2,0	N:52°38'45.9" E:19°02'19.9"	Robotnicza 16a, pomiar przed posesją -DPP	0,057	0,058

I	1,8	2,86	0,005	0,008	0,3-2,0	N:52°38'46.7" E:19°02'19.6"	Robotnicza 18/18a, pomiar przed posesją -DPP	0,102	0,104
J	1,0	1,59	0,003	0,004	0,3-2,0	N:52°38'47.7" E:19°02'19.4"	Robotnicza 22, pomiar przed posesją -DPP	0,057	0,058
K	1,2	1,91	0,003	0,005	0,3-2,0	N:52°38'48.2" E:19°02'21.1"	Wspólna 29a, pomiar przed posesją -DPP	0,068	0,069
L	1,1	1,75	0,003	0,005	0,3-2,0	N:52°38'48.3" E:19°02'22.3"	Szczygła 19, pomiar przed posesją -DPP	0,062	0,063
M	1,0	1,59	0,003	0,004	0,3-2,0	N:52°38'47.5" E:19°02'22.5"	Szczygła 17b/17c, pomiar przed posesją -DPP	0,057	0,058
N	1,2	1,91	0,003	0,005	0,3-2,0	N:52°38'48.9" E:19°02'18.9"	Robotnicza 24, pomiar przed posesją -DPP	0,068	0,069
O	1,1	1,75	0,003	0,005	0,3-2,0	N:52°38'48.9" E:19°02'21.2"	Wspólna 36, pomiar przed posesją -DPP	0,062	0,063
P	0,9	1,43	0,002	0,004	0,3-2,0	N:52°38'49.9" E:19°02'21.7"	Szczygła 23/23a, pomiar przed posesją -DPP	0,051	0,052
R	1,0	1,59	0,003	0,004	0,3-2,0	N:52°38'50.6" E:19°02'21.4"	Szczygła 25, pomiar przed posesją -DPP	0,057	0,058
S	1,0	1,59	0,003	0,004	0,3-2,0	N:52°38'50.2" E:19°02'22.5"	Szczygła 26, pomiar przed posesją -DPP	0,057	0,058
T	1,0	1,59	0,003	0,004	0,3-2,0	N:52°38'50.7" E:19°02'22.3"	Szczygła 28, pomiar przed posesją -DPP	0,057	0,058
U	1,0	1,59	0,003	0,004	0,3-2,0	N:52°38'51.1" E:19°02'25.8"	Krucza 27, pomiar przed posesją -DPP	0,057	0,058
W	0,8	1,27	0,002	0,003	0,3-2,0	N:52°38'51.6" E:19°02'25.7"	Krucza 29, pomiar przed posesją -DPP	0,045	0,046
V	1,0	1,59	0,003	0,004	0,3-2,0	N:52°38'51.6" E:19°02'25.5"	Krucza 24, pomiar przed posesją -DPP	0,057	0,058
X	0,9	1,43	0,002	0,004	0,3-2,0	N:52°38'52.2" E:19°02'26.2"	Krucza 26, pomiar przed posesją -DPP	0,051	0,052
Y	0,7*	1,27	0,002	0,003	0,3-2,0	N:52°38'52.4" E:19°02'29.0"	Wilcza 25, pomiar przed posesją -DPP	0,045	0,046
Z	0,7*	1,27	0,002	0,003	0,3-2,0	N:52°38'52.6" E:19°02'29.8"	Wilcza 22, pomiar przed posesją -DPP	0,045	0,046
A1	0,7*	1,27	0,002	0,003	0,3-2,0	N:52°38'53.1" E:19°02'29.6"	Wilcza 26, pomiar przed posesją -DPP	0,045	0,046
B1	0,9	1,43	0,002	0,004	0,3-2,0	N:52°38'50.5" E:19°02'17.8"	Kapitulna 90/92 , pomiar przed posesją -DPP	0,051	0,052
C1	1,3	2,06	0,003	0,005	0,3-2,0	N:52°38'50.0" E:19°02'16.5"	Kapitulna 94/96, pomiar przed posesją -DPP	0,074	0,075
D1	1,4	2,22	0,004	0,006	0,3-2,0	N:52°38'49.6" E:19°02'14.7"	Kapitulna 98/100, pomiar przed posesją -DPP	0,079	0,081
E1	1,2	1,91	0,003	0,005	0,3-2,0	N:52°38'49.1" E:19°02'12.9"	Kapitulna 102/104, pomiar przed posesją -DPP	0,068	0,069
F1	0,7*	1,27	0,002	0,003	0,3-2,0	N:52°38'51.4" E:19°02'11.7"	Słowicza 21, pomiar przed posesją -DPP	0,045	0,046
G1	0,7*	1,27	0,002	0,003	0,3-2,0	N:52°38'51.2" E:19°02'10.9"	Słowicza 23, pomiar przed posesją -DPP	0,045	0,046
H1	0,7*	1,27	0,002	0,003	0,3-2,0	N:52°38'51.1" E:19°02'10.1"	Słowicza 25, pomiar przed posesją -DPP	0,045	0,046
I1	0,7*	1,27	0,002	0,003	0,3-2,0	N:52°38'51.4" E:19°02'09.2"	Słowicza 34/32, pomiar przed posesją -DPP	0,045	0,046
J1	1,1	1,75	0,003	0,005	0,3-2,0	N:52°38'48.8" E:19°02'16.7"	Kościół, pomiar przed budynkiem -DPP	0,062	0,063

Wynik pomiaru pole - E [V/m] - maksymalna wartość chwilowa zmierzona w danym pionie pomiarowym (uśredniona na podstawie punktu 11 załącznika do Rozporządzenia Ministra Klimatu z dnia 17 lutego 2020 r. w sprawie sposobów sprawdzania dotrzymania dopuszczalnych poziomów pól elektromagnetycznych w środowisku (Dz.U. 2022 poz. 2630)). Zgodnie z pkt. 7 załącznika do Rozporządzenia Ministra Klimatu z dnia 17 lutego 2020 r. w sprawie sposobów sprawdzania dotrzymania dopuszczalnych poziomów pól elektromagnetycznych w środowisku (Dz.U. 2020 poz. 258, Dz.U. 2022 poz. 1121) nie stosuje się poprawek pomiarowych.

Przyjęto najniższą dopuszczalną wartość składowej elektrycznej pola dla objętego pomiarami zakresu częstotliwości min(MEgr)= 28 V/m oraz składowej magnetycznej min(MHgr)= 0,073 A/m.

* - wartość zmierzona poniżej zakresu akredytacji. Do obliczeń przyjęto wartość zgodną z dolną granicą akredytowanego zakresu pomiarowego metody.

GKP - główne kierunki pomiarowe

„Bez pisemnej zgody Laboratorium niniejsze sprawozdanie nie może być powielane inaczej, jak tylko w całości. Ponadto wyniki dotyczą tylko badanych obiektów przywołanych w niniejszym sprawozdaniu z badań”

PKP - pomocnicze kierunki pomiarowe

DPP - dodatkowe punkty pomiarowe

PP - pion pomiarowy

U - niepewność pomiarowa rozszerzona, przy poziomie ufności 95%, z uwzględnieniem współczynnika rozszerzenia $k=2$

WM_E - wartość wskaźnikowa poziomu emisji pól elektromagnetycznych dla miejsc dostępnych dla ludności dla składowej elektrycznej pola

WM_H - wartość wskaźnikowa poziomu emisji pól elektromagnetycznych dla miejsc dostępnych dla ludności dla składowej magnetycznej pola

7. Stwierdzenie zgodności

Na podstawie wytycznych podanych w Rozporządzeniu Ministra Zdrowia z dnia 17 grudnia 2019 r. w sprawie dopuszczalnych poziomów pól elektromagnetycznych w środowisku (Dz.U. 2019 poz. 2448) oraz sposobów sprawdzania dotrzymania tych poziomów zgodnie z Rozporządzeniem Ministra Klimatu z dnia 17 lutego 2020 r. w sprawie sposobów sprawdzania dotrzymania dopuszczalnych poziomów pól elektromagnetycznych w środowisku (Dz.U. 2022 poz. 2630), dotyczących źródła wymagań, które muszą być spełnione, w oparciu o zasadę podejmowania decyzji zgodną z pkt. 26 Rozporządzenia Ministra Klimatu z dnia 17 lutego 2020 r. (Dz.U. 2022 poz. 2630), na podstawie wyników pomiarów pól elektromagnetycznych wykonanych w dniu 29.05.2023 stwierdzono, że wszystkie wyniki przeprowadzonych pomiarów w danym obszarze pomiarowym oraz wyznaczone na tej podstawie wskaźniki WME oraz WMH są mniejsze od wartości dopuszczalnych – zgodnie z przepisami wydanymi na podstawie art. 122 ust. 1 ustawy z dnia 27 kwietnia 2001 r. – Prawo ochrony środowiska – załącznikiem do Rozporządzenia Ministra Klimatu i Środowiska z dnia 17 lutego 2020 r. w sprawie sposobów sprawdzania dotrzymania dopuszczalnych poziomów pól elektromagnetycznych w środowisku (Dz.U. 2022 poz. 2630, pkt 26).

8. Oświadczenie.

Wyniki badania odnoszą się wyłącznie do badanego obiektu.

Bez pisemnej zgody sprawozdanie nie może być powielane inaczej, jak tylko w całości.

Uwagi i zastrzeżenia przyjmowane są w formie pisemnej.

9. Spis załączników.

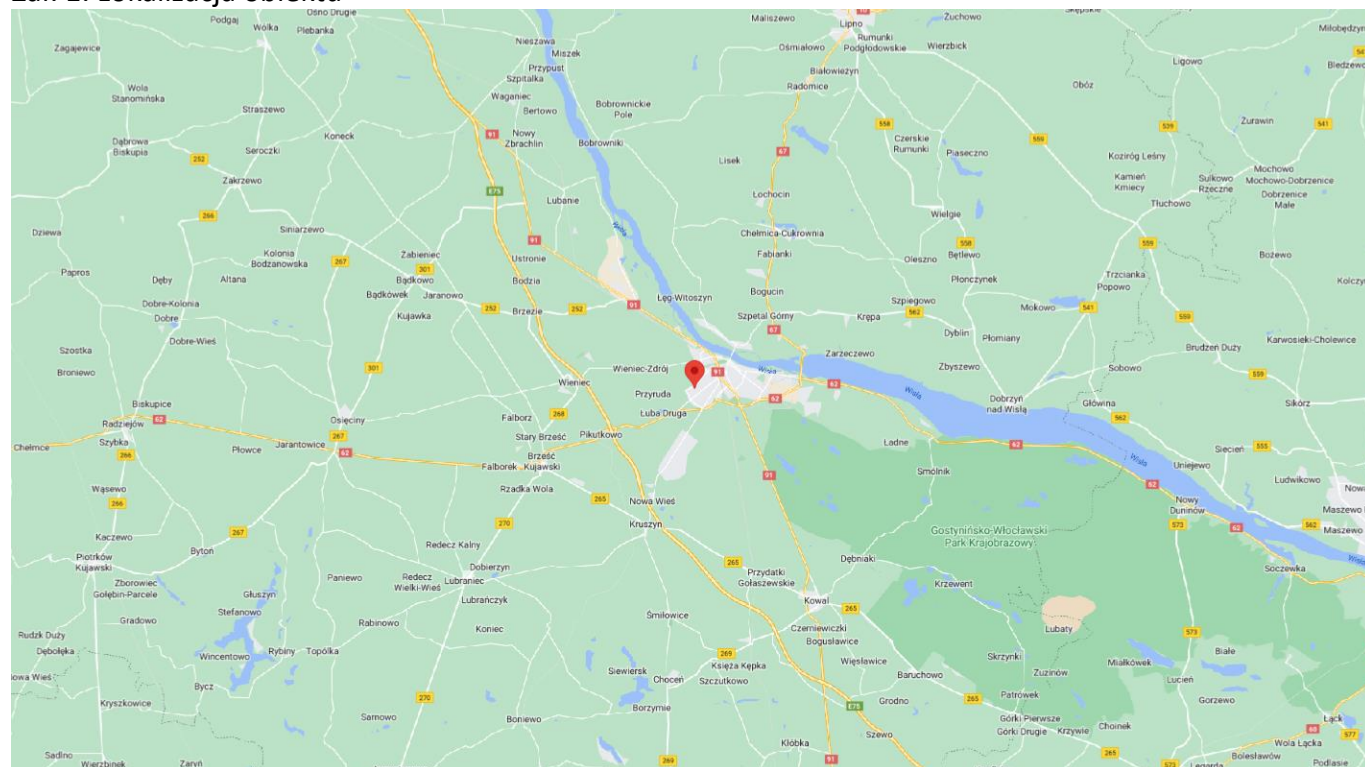
Zał. 1. Lokalizacja obiektu.

Zał. 2. Widok pionów pomiarowych

Zał. 3. Załączniki graficzne

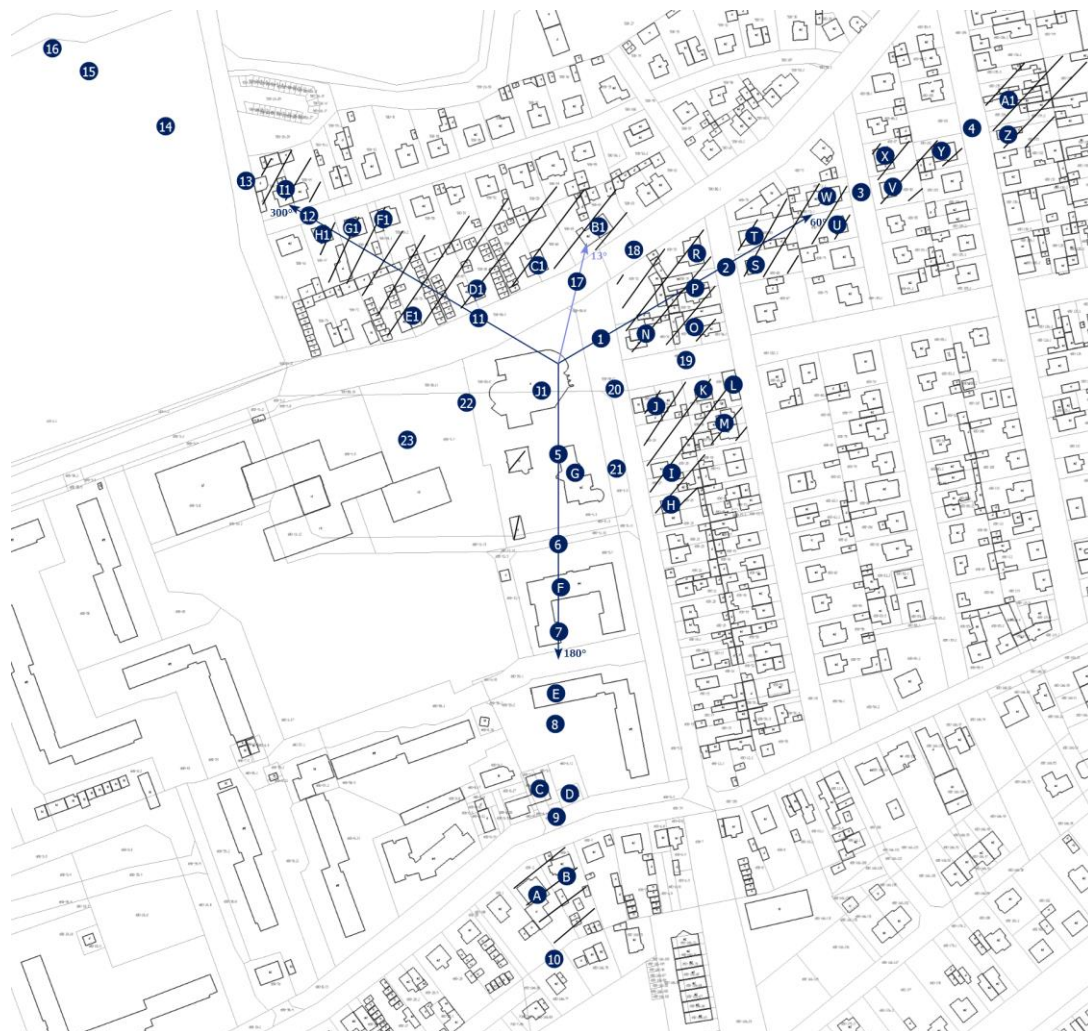
Koniec sprawozdania

Zał. 1. Lokalizacja obiektu




Współrzędne geograficzne	
długość:	19°02'17.03"E
szerokość:	52°38'48.55"N

Załącznik 2. Widok pionów pomiarowych




LEGENDA:

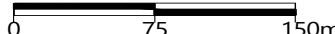
 brak dostępu

 pion pomiaru

 antena sektorowa

 antena radioliowa

Skala: 1:5000

 0 75 150m

Załącznik 3. Załączniki graficzne.

